

Раздел 6. Инженерная экология и смежные вопросы

Задача решалась в осесимметричной постановке; деформации и напряжения, возникающие за счет нагрева материала, не учитывались. Выбранная расчетная модель Extended Drucker-Prager (EDP) учитывала поведение сыпучих материалов (грунтов, песков и др.) под действием приложенных нагрузок и выполнялась с учетом анализа на сходимость при изменении количества элементов. Анализ поведения материала при заданных рабочих условиях позволил разработать рекомендации и методику инженерного расчета процесса уплотнения наноразмерного материала в канале фильтры, представленную на рис.4.

Таким образом, можно заключить, что компьютерное моделирование является одним из актуальных методов исследования новых материалов с содержанием наноразмерных компонентов, чье поведение пока не представляется возможным изучать с помощью реального технологического оборудования. Результаты моделирования позволяют в дальнейшем сократить риски при переходе от модели к действующим технологиям, а также дадут возможность проводить технологические процессы на производстве в безопасных режимах без дополнительных трудоемких экспериментов. В целом, современные интерактивные среды моделирования являются мощными инструментальными средствами, позволяющими спрогнозировать поведение различных материалов и систем на этапах их получения и отработки технологий в промышленности.

Литература:

1. Generalov M.B., Klevleev V.M., Kuznetsova I.A., Pilyagina A.O. Dynamic drawing of powder material through a conical die. Chemical and Petroleum Engineering, 2009, Volume 45, Numbers 1-2, P. 57-59.
2. Клевлеев В.М., Кузнецова И.А. Теоретическая модель процесса уплотнения ультрадисперсного материала в сужающейся фильтре с учетом изменения коэффициента бокового давления. «Химическое и нефтегазовое машиностроение», № 9, 2010. с. 3-7.
3. Кузнецова И.А., Лаптев Н.И., Клевлеев В.М. Особенности поведения наноразмерных материалов при компактировании и модель формования их в сложном канале фильтры. Спецсборник СамГТУ, вып. № 5, 2010., с. 73-81.
4. Левицкий А.А. Информатика. Основы численных методов. Лабораторный практикум. КГТУ. 2005. 120 с.
5. Шимановский А.О., Путято А.В. Применение метода конечных элементов в решении задач прикладной механики. Гомель: БГУТ, 2008. – 64 с.

Моделирование процессов тепло- и массообмена в вакуумной градирне

д.т.н. проф. Маринюк Б.Т., к.т.н. Крысанов К.С., Спритнюк С.В.

Университет машиностроения

8(926)905-84-34, spritnyuk@ya.ru

Аннотация. В статье рассмотрен процесс охлаждения воды методом вакуумно-испарительного воздействия в сочетании с конвективным движением воздуха в противотоке. Проведено сравнение с методом охлаждения воды в вентиляторной градирне. Выявлены преимущества описанного способа охлаждения. Представлена схема и принцип действия установки. Изложена аналитическая модель расчета предельного значения конечной температуры воды при конкретных условиях ведения процесса. Результаты расчетов и опытов приведены в виде графика.

Ключевые слова: вакуумно-испарительное охлаждение воды, вакуумная градирня, водокольцевой насос.

Охлаждение воды в холодильной технике занимает особое место. Традиционно осуществляется в водоохладителях, работающих на фреонах. Парокомпрессионный цикл, таким образом, организуется при участии посредника, которым является рабочее вещество. На наш взгляд, более рационально вести процесс с использованием объекта охлаждения в качестве

холодильного агента, во-первых, потому, что вода обладает совершенными теплофизическими свойствами, теплота парообразования у нее в два раза больше чем у аммиака, и, во-вторых, потому, что в испарителе при этом может отсутствовать теплопередающая поверхность, а следовательно, и связанный с ней перепад температур. Такой процесс можно реализовать, осуществляя непосредственное вакуумное воздействие на воду в вакуумно-испарительной машине. Пределом охлаждения воды здесь является точка замерзания. Интерес представляет также совмещение конвективного процесса отвода тепла от воды за счет потока воздуха окружающей среды с вакуумным процессом откачки.

Данная работа посвящена изучению совместного воздействия вакуумно-испарительного и конвективного механизмов теплообмена воды с воздухом. Понятно, что в этом случае следует рассчитывать на применение «мягкого» вакуума с остаточным давлением P_0 не ниже 100 мм. рт. ст. Достигнение такого вакуума возможно в вакуумных насосах механического типа: водокольцевых, многопластинчатых вращательных, вращательных насосов с масляным уплотнением и даже двухроторных насосах, осуществляющих откачуку в окружающую атмосферу.

Практическое применение такого процесса возможно при охлаждении обратной воды в вакуумных градирнях. Известно, что в современных градирнях пределом охлаждения воды является температура мокрого термометра t_m . Реально в вентиляторных градирнях глубина подохлаждения воды не превышает 4-5°C. В то же время, понижение температуры воды, идущей на охлаждение конденсаторов, на один градус в современных фреоновых холодильных машинах позволяет снизить давление конденсации и, соответственно, уменьшить расход энергии на сжатие рабочего вещества на 4%.

Принципиальная схема опытной установки, реализующей данный процесс включает в себя быстроходный вакуумный насос-компрессор, испаритель, форсунку для подачи и распыла воды и циркуляционный центробежный насос. В качестве насос-компрессора применяли водокольцевую машину марки ВВН-6 с предельным остаточным давлением 60 мм. рт. ст., и производительностью 0,05 м³/с. Испаритель – вертикальный резервуар со съемной крышкой и внутренним объемом 100 л. На установке имеется образцовый вакуумметр пружинного типа и термопары для замера температуры воды.

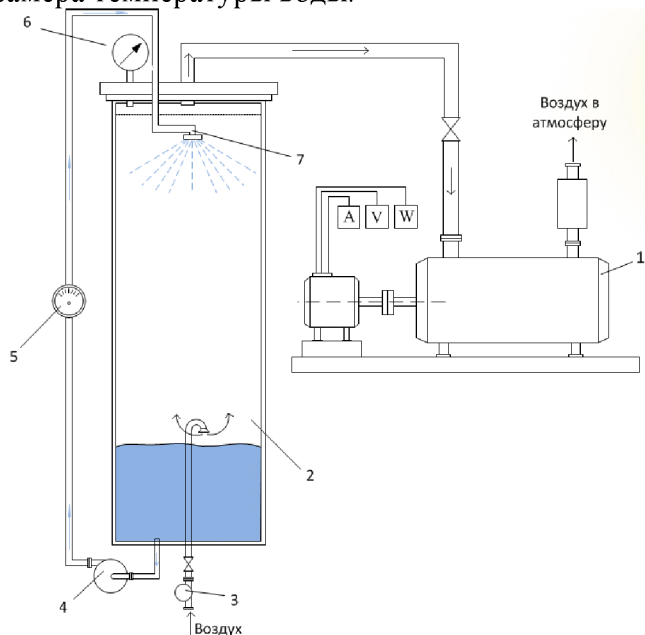


Рисунок 1 – Принципиальная схема установки: 1 – водокольцевой вакуумный насос типа ВВН-6; 2 – водоохладительное устройство; 3 – ротаметр; 4 – насос; 5 – счетчик расхода воды; 6 – вакуумметр; 7 – форсунка

Аналитическая модель расчета предельного значения конечной температуры охлаждения расхода воды G_w за один цикл охлаждения включает три уравнения, устанавливающие основные отношения между параметрами процесса. При проведении расчетов по представленным уравнениям была учтена масса алюминиевого резервуара, в полости которого проводили опыт. Расчеты следует проводить до момента, когда температура воды на выходе практически перестанет изменяться, это значение температуры и составит предел охлаждения в условиях ведения процесса.

$$G_w \cdot Cp_w \cdot (T_w^{\text{вх}} - T_w^{\text{вых}}) = \alpha_{\text{в}} \cdot F \cdot (\bar{T}_w - \bar{T}_{\text{в}}) + \frac{\alpha_{\text{в}} \cdot F \cdot r}{Cp_{\text{в}}} \cdot \left(\bar{d}'' - \bar{d}_{\text{вл}} \cdot \frac{P_0}{P_{\text{атм}}} \right); \quad (1)$$

$$G_w \cdot Cp_w \cdot (T_w^{\text{вх}} - T_w^{\text{вых}}) = G_{\text{в}} \cdot Cp_{\text{в}} \cdot (T_{\text{в}}^{\text{вх}} - T_{\text{в}}^{\text{вых}}); \quad (2)$$

$$\rho_{\text{вл.в}}^{\text{вых}} = \rho_{\text{вл.в}}^{\text{вх}} + \frac{\alpha_{\text{в}} \cdot F}{Cp_{\text{в}} \cdot s} \cdot \left(\bar{d}'' - \bar{d}_{\text{вл}} \cdot \frac{P_0}{P_{\text{атм}}} \right), \quad (3)$$

где: C_{pb} – теплоемкость воздуха, Дж/кг·гр; $\alpha_{\text{в}}$ – коэффициент теплоотдачи от разреженного воздуха к поверхности капель, Вт/ $\text{м}^2 \cdot \text{гр}$; $\rho_{\text{вл.в}}$ – плотность водяного пара в воздухе при начальной и конечной температуре воздуха, $\text{кг}/\text{м}^3$; \bar{d}'' – средняя плотность насыщенного водяного пара у поверхности капли, $\text{кг}/\text{м}^3$; s – удельная скорость откачки, $\text{м}^3/\text{с}$; r – теплота испарения влаги, Дж/кг; F – суммарная поверхность капель, м^2 ; G_w – расход охлаждаемой воды, кг/с; $G_{\text{в}}$ – расход воздуха, кг/с, $T_{\text{в}}$ – температура воздуха, $^{\circ}\text{C}$; T_w – температура воды, $^{\circ}\text{C}$.

Расчеты, проведенные по приведенным уравнениям, представлены в виде графика зависимости конечной температуры охлаждаемой воды от величины остаточного давления $T_w^{\text{k}} = f(P)$ при фиксированных значениях, $\alpha_{\text{в}}$, ρ , s , r , φ , Cp , $T_{\text{в}}$.

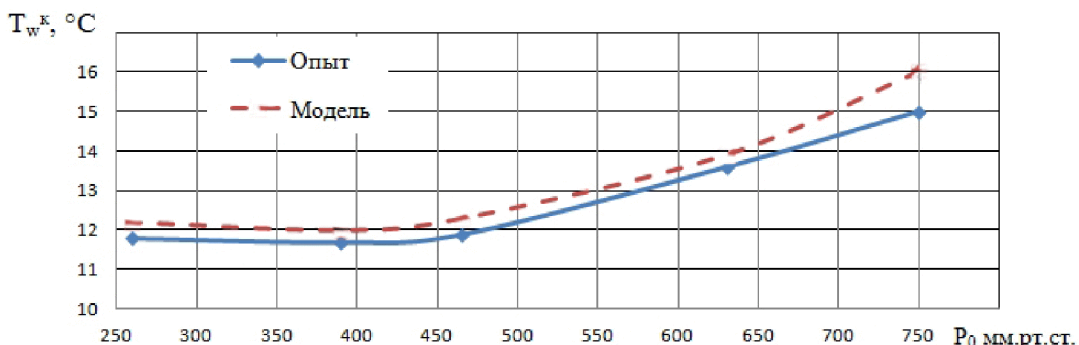


Рисунок 2 – Зависимость конечной температуры охлаждаемой воды от величины остаточного давления в безнасадочной вакуумной градирне

Как следует из графика, расчетные и опытные значения предельной конечной температуры находятся в удовлетворительном согласовании. По мере возрастания остаточного давления P_0 значение конечной температуры возрастает. При значении остаточного давления в градирне $P_0=380\div420$ мм. рт. ст. заметно достижение минимального значения температуры охлаждаемой воды, что можно объяснить наличием максимального теплоотвода от нее при сочетании обоих механизмов тепло- и массопереноса.

Данная модель может быть также распространена для расчета конечной температуры охлаждаемой воды в классической градирне с регулярной насадкой и известными ее характеристиками: пористостью F_v , $\frac{\text{м}^3}{\text{м}^3}$, удельной поверхностью ϵ , $\frac{\text{м}^2}{\text{м}}$, эквивалентным диаметром

ром d_s , м². Для этого в уравнении (1) модели необходимо заменить значение суммарной поверхности капель F на значение теплопередающей поверхности насадки F_h , по которой стекает вода в пленочном режиме.

Предложенный метод позволяет обоснованно вести расчет как обычных вентиляторных градирен с регулярной насадкой, так и вакуумных водоохладителей. В существующих подходах выбора градирен не учитываются характеристические параметры работы аппарата, поточные показатели воздуха и воды, а также место расположения градирни по отношению к уровню моря и параметрам влажности воздуха.

Литература

1. Калатузов В.А. Расчетные зависимости тепломассообмена по результатам натурных испытаний градирен. Промышленная энергетика. Выпуск 8. М., 2006.
2. Курылев Е.С., Герасимов А.А. Холодильные установки: Учебник для студентов вузов 3-е изд. Перераб. и дополн. – Л.: Машиностроение, 1980.
3. Маринюк Б.Т. Теплообменные аппараты ТНТ, конструктивные схемы и расчет. М.: Энергоатомиздат, 2009.

Математическое и программное обеспечение расчета сильфонных компенсаторов на прочность

д.т.н. проф. Луганцев Л.Д., Трубаева И.Ю.
Университет машиностроения
8(499)267-16-33

Аннотация. Изложены метод и алгоритм численного анализа напряженно-деформированного состояния компенсаторов сильфонного типа с его реализацией в виде программного обеспечения для ЭВМ. Приведен пример расчета и оптимального проектирования сильфонного компенсатора.

Ключевые слова: сильфонный компенсатор, малоцикловая прочность, метод конечных элементов

Сильфонные компенсаторы (рисунок 1) находят все более широкое применение в различных отраслях промышленности. Их применение для компенсации температурных деформаций элементов конструкций дает возможность повысить рабочие параметры оборудования, упростить структуру производственных объектов, сократить габариты, получить в результате существенный технический и экономический эффект.



Рисунок 1 – Сильфонные компенсаторы